

метки времени хронометра и умножителя частоты, а на вторую — или радиосигналы точного времени (режим привязки хронометра), или импульсы замыканий контактов микрометра (режим астрорадионавигации). Питание электронной схемы феррохронографа должно включаться не менее чем за 40 с до начала регистрации, чтобы

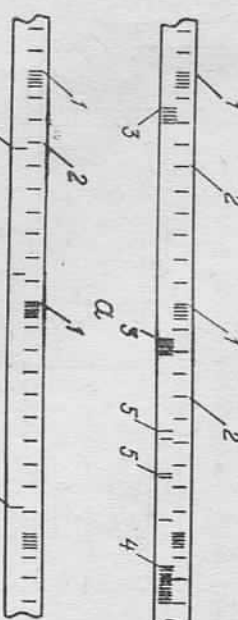


Рис. 3. Вид проявленной записи, полученной на феррохронографе в режимах привязки часов (a) и произвождства астронаблюдений (б):
1 — секундные метки времени; 2 — метки 0,1 с; 3 — секундные радиосигналы точного времени; 4 — минутный радиосигнал; 5 — радиопомехи; 6 — импульсы замыканий контакта окулярного микрометра.

бы успела установиться частота меток 10 Гц. Вид проявленной магнитной записи показан на рис. 3.

Описанный вариант прибора применялся в практике полевых астронаблюдений в различных географических районах и показал соответствие современным требованиям точности регистрации.

Список литературы: 1. Дульцев А. Т., Крайнюк Г. Г., Логвиненко А. А. Регистрация времени астронаблюдений на магнитной ленте. — Геодезия, картография и аэрофотосъемка, 1979, вып. 29. 2. Логвиненко А. А., Крайнюк Г. Г., Дульцев А. Т. Хронограф для магнитной регистрации времени полевых астронаблюдений с применением кварцевых часов. — Циркуляр астрономической обсерватории Львовского госуниверситета, 1979, № 54.

Статья поступила в редакцию 26.12.83

УДК 539.512.5

Ф. Д. ЗАБЛОЦКИЙ, Н. И. КРАВЦОВ, А. И. ТЕРЕЩУК

ИССЛЕДОВАНИЕ ЗАВИСИМОСТИ ПОКАЗАТЕЛЯ ПРЕЛОМЛЕНИЯ РАДИОВОЛН ОТ МЕТЕОЭЛЕМЕНТОВ В ЦЕНТРАЛЬНОЙ АНТАРКТИДЕ

Климат внутриконтинентальной зоны Антарктиды — самый суровый на земном шаре. Рекордно низкая температура зафиксирована в июле 1983 г. на советской станции Восток $-89,2^{\circ}\text{C}$. В табл. 1 приведены среднесезонные и среднегодовые многолетние характеристики, усредненные по метеорологическим наблюдениям

Элементы	Среднестатистические данные метеорологических наблюдений в Центральной Антарктиде				Таблица 1
	Лето	Осень	Зима	Весна	
Температура воздуха, $^{\circ}\text{C}$	-28,1	-49,7	-53,8	-44,7	-44,1
Давление воздуха, 10^2 Па	711,7	704,2	701,3	700,1	704,3
Скорость ветра, м/с	5,3	7,1	7,5	7,0	6,7
Упругость водяного пара, 10^2 Па	0,51	0,20	0,16	0,21	0,27
Сумма радиационного баланса, $\text{кал}/\text{см}^2$ *	3,2	-3,5	-3,8	-1,0	-5,1

* Примедено лишь для станции Восток.

ральной Антарктида с этой точки зрения — самый благоприятный район для проведения радиодальномерных измерений.

Для исследования закономерности распределения показателя преломления радиоволн мы использовали результаты 46 аэрологических зондирований (в среднем по одному в неделю) на станции Восток [4]. Поскольку влажность воздуха в Центральной Антарктиде очень низкая и составляет для самого теплого месяца — января — на станции Восток $0,25 \cdot 10^{-2} \text{ Па}$, то неучт ее при вычислении модуля показателя преломления воздуха для радиоволн N_p составляет лишь 1,5 [1]. Таким образом, неучт влажности при вычислении N_p в условиях Центральной Антарктиды практически не выходит за пределы точности определения самого показателя преломления.

Для вычисления N_p мы применяем известную формулу Фрума и Эссена, полагая, что $e=0$. N_p находим по давлению и температуре воздуха, зафиксированных на стандартных высотах нижних слоев атмосферы, причем высота станции Восток над уровнем моря составляет почти 3,5 км. Усредненные из 46 зондирований значения модуля показателя преломления представлены на рисунке.

Анализируя график, можно сделать вывод о практически линейном изменении показателя преломления с высотой, за исключением приземного слоя, характеризующегося практически постоянным инверсионным распределением температуры с высотой.

Показатель преломления запишем в виде линейной зависимости:

$$N = a/T + b\rho + c, \quad (1)$$

где T — температура воздуха, К; p — давление воздуха, Па; a , b и c — неизвестные коэффициенты.

Усредненные из 46 аэрологических зондирований значения $1/T$, p и N , вычисленные по формуле Фрума—Эссена, в зависимости от высоты над уровнем станции представлены ниже:

Высота над уровнем
станицы

$1/T$

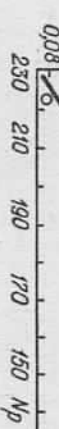
p

N

Зондиро- вание из 46	Сравнение значений модуля показателя преломления			
	по формуле Фрума—Эс- сена	по формуле (5)	Δ	$\Delta\Delta$
Среднее	225,4	233	+2,1	4,41
	217,6	216,0	+1,6	2,56
	192,6	191,1	+1,5	2,25
	179,3	177,8	+1,5	2,25
	168,1	167,0	+1,1	1,21
	208,1	207,2	+0,9	0,81
	205,1	203,9	+1,2	1,44
	188,8	187,0	+1,8	3,24
	177,5	175,7	+1,8	3,61
	167,4	165,5	+1,9	3,61
	245,7	243,7	+2,0	4,00
	224,9	223,0	+1,9	3,61
	193,5	192,4	+1,1	1,21
	180,8	179,5	+0,7	0,49
	170,6	170,2	+0,4	0,16

Среднегодовое распределение N_p на станции Восток (отсчет высот от уровня станции).

15.VII



Для определения a , b и c воспользуемся методом множественной линейной корреляции. Произведем вычисления по формуле

$$\bar{x} = \Sigma_{mz}/\Sigma_m, \quad \bar{y} = \Sigma_{my}/\Sigma_m, \quad z = \Sigma_{mz}/\Sigma_m, \quad \Sigma_m = N. \quad (2)$$

Здесь для x , y и z возьмем приведенные значения $1/T$, p и N соответственно. Найдем смешанные коэффициенты корреляции

$$r_{xy} = \frac{\Sigma_m \delta_x \delta_y}{N \sigma_x \sigma_y} = 0,769,$$

$$r_{yz} = \frac{\Sigma_m \delta_y \delta_z}{N \sigma_y \sigma_z} = 0,982,$$

$$r_{xz} = \frac{\Sigma_m \delta_x \delta_z}{N \sigma_x \sigma_z} = 0,865. \quad (3)$$

$$\text{Коэффициенты } a = \frac{r_{xz} - r_{yz} r_{xy}}{1 - r_{xy}^2} \cdot \frac{\sigma_z}{\sigma_x} = 46857, \quad b = \frac{r_{yz} - r_{xz} r_{xy}}{1 - r_{xy}^2} \cdot \frac{\sigma_z}{\sigma_y} = 0,33589, \quad c = \bar{z} - a\bar{x} - b\bar{y} = -202,0. \quad (4)$$

таким образом, искомое выражение для модуля показателя преломления электромагнитных волн радиодиапазона имеет вид $N = 46857/T + 0,33589 \cdot p - 202.0$. (5)

Для проверки полученного выражения вычислим модуль показателя преломления по формуле Фрума—Эссена и по (5), используя

Таблица 2

Сравнение значений модуля показателя преломления

Значения

$1/T$

p

N

Δ

$\Delta\Delta$

$$[\Delta\Delta] = 34,49, \\ m = \pm \sqrt{\frac{[\Delta\Delta]}{n}} = \pm \sqrt{\frac{34,49}{15}} = \pm \sqrt{2,2993}, \\ m = \pm 1,51 \text{ N-единиц.}$$

зая данные аэрологических зондирований на станции Восток [4], которые не были взяты в обработку для вывода (5) (табл. 2).

Как видно, (5) обеспечивает вычисление модуля показателя преломления N_p в Центральной Антарктиде с достаточной точностью даже для экстремальных периодов года — лета и зимы.

Список литературы: 1. Заблоцкий Ф. Д., Кравцов Н. И. Распределение показателя преломления воздуха в пограничном слое Центральной Антарктиды. — Всесоюзное совещание по рефракции электромагнитных волн в атмосфере. Тез. докл., Томск, 1983. 2. Справочник по климату Антарктиды. — Л.: Гидрометеоиздат, 1977, т. 2, 4. Труды Советской антарктической экспедиции. — Л.: Морской транспорт, 1962, т. 25.

Статья поступила в редакцию 26.12.83